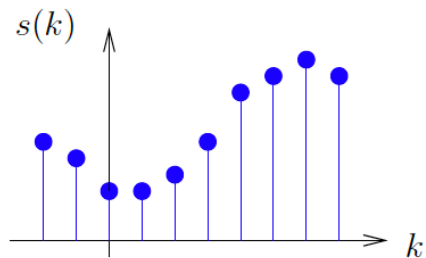


# Review of Classical Theory of Discrete-Time Linear Systems

Paolo Fiorini

University of Verona

# Discrete Time Signals



**Figura 1.2.** Segnale a tempo discreto

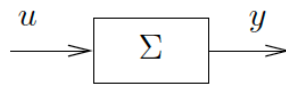
This is an example of discrete (time) signal, we will address only signals that belong to spaces that have finite norms, e.g. the one below

$\ell_p \triangleq \ell_p(-\infty, \infty)$ ,  $1 \leq p < \infty$  è l'insieme delle sequenze (o successioni)  $x = (\dots, x_{-1}, x_0, x_1, x_2, \dots)$ ,  $x_i \in \mathbb{C}^n$ , tali che  $\|x\|_p < \infty$  dove

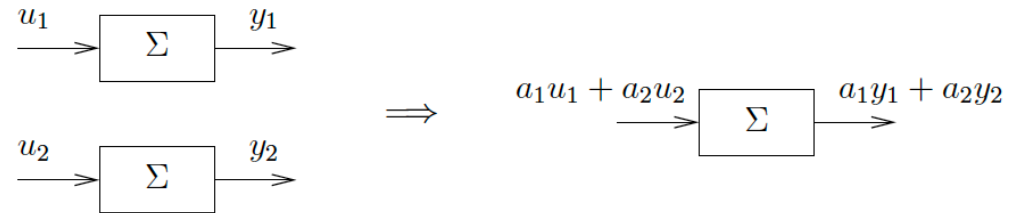
$$\|x\|_p = \left\{ \sum_{i=-\infty}^{+\infty} |x_i|^p \right\}^{1/p}$$

è la norma associata.

# Discrete Time Systems: Properties



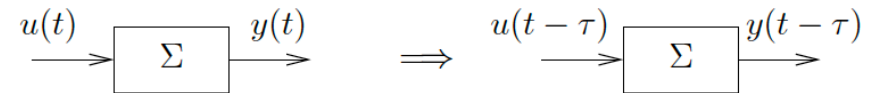
**Figura 1.3.** Rappresentazione di un sistema dinamico  $\Sigma$



**Figura 1.4.** Linearità di  $\Sigma$

## **Definizione 1.2.3 (Causalità)**

*Un sistema dinamico  $\Sigma$  è causale se l'uscita al tempo  $t$ ,  $y(t)$ , dipende solo dall'ingresso fino al tempo  $t$ ,  $u(t)$ .*



**Figura 1.5.** Tempo-invarianza di  $\Sigma$

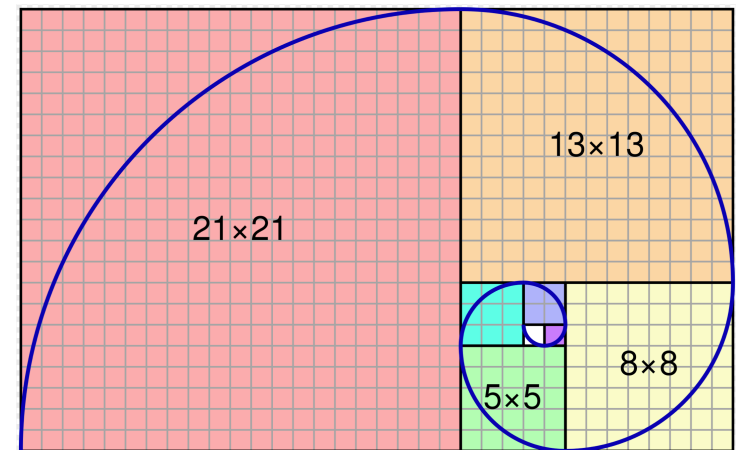
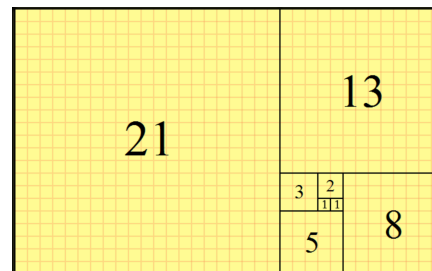
For discrete time systems, the properties become:

**Linearity:**  $u_1(k) \rightarrow v_1(k) \ \& \ u_2(k) \rightarrow v_2(k) \Rightarrow \alpha u_1(k) + \beta u_2(k) \rightarrow \alpha v_1(k) + \beta v_2(k)$

**Time Invariance:**  $\forall (u, v) \ \& \ d \in \mathbb{Z}$ , then  $u(k - d) \rightarrow v(k - d)$

# Discrete Time Systems: Examples

- Sales Model:
  - $v(k)=u(k-1)$  sales are equal to the previous period
  - $v(k)= u(k-1) + a[u(k-1)-u(k-2)]$ , sales are equal to previous period plus the trend  $a>0$  growing,  $a<0$  decreasing
- Data Filtering:
  - $v(k) = \frac{1}{m} \sum_{i=0}^{m-1} u(k-i)$   $k \in Z$  moving average with window of length  $m$
  - $v(k) = \frac{1}{m} \sum_{i=0}^{m-1} b_i u(k-i)$   $k \in Z$  weighted moving average
- Fibonacci numbers:
  - $v(k+2)=v(k+1)+v(k)$   $v(0)=0, v(1)=1$



# Discrete Time Systems: Stability

## Definizione 1.2.6 (BIBO stabilità)

*Un sistema a tempo continuo  $\Sigma$  è BIBO stabile se per ogni costante positiva  $M_u$  esiste una costante positiva  $M_y$  tale che per ogni segnale d'ingresso  $u(t)$  che soddisfa*

$$|u(t)| \leq M_u, \quad t \geq t_0 \quad (1.1)$$

*la corrispondente risposta in uscita  $y(t)$  soddisfa*

$$|y(t)| \leq M_y, \quad t \geq t_0 \quad (1.2)$$

*per  $t \in \mathbb{R}$ .*

*Un sistema a tempo discreto  $\Sigma$  è BIBO stabile se per ogni costante positiva  $M_u$  esiste una costante positiva  $M_y$  tale che per ogni segnale d'ingresso  $u(k)$  che soddisfa*

$$|u(k)| \leq M_u, \quad k \geq k_0 \quad (1.3)$$

*la corrispondente risposta in uscita  $y(k)$  soddisfa*

$$|y(k)| \leq M_y, \quad k \geq k_0 \quad (1.4)$$

*per  $k \in \mathbb{Z}$ .*

Definitiona are side-by-side in the course notes

# Input/Output Equation

Discrete-time Linear Time Invariant (LTI) systems are represented by a **linear difference equation (1.10)**

$$\sum_{i=0}^n a_i y(k-i) = \sum_{j=0}^m b_j u(k-j), \quad k \in \mathbb{Z}$$

That can be derived by the corresponding continuous time equation by approximating the derivative as

$$\frac{du(t)}{dt} \simeq \frac{u(kT_s) - u((k-1)T_s)}{T_s}$$

and by setting  $T=1$ , where  $T$  is the sampling time (more in this later).

*Il legame ingresso-uscita di un sistema a tempo discreto SISO LTI  $\Sigma$  di dimensione finita può essere descritto dalla seguente equazione alle differenze*

$$\sum_{i=0}^n a_i y(k-i) = \sum_{j=0}^m b_j u(k-j), \quad (1.15)$$

$\mathbb{Z} \ni k \geq k_0$ , con condizioni iniziali (c.i.)

$$y(k_0-1), y(k_0-2), \dots, y(k_0-n) \quad (1.16)$$

*dove  $m \leq n$ ,  $a_i, b_j \in \mathbb{R}$  e tali che  $a_n \neq 0$ ,  $a_0 \neq 0$ ,  $b_m \neq 0$  e  $u(k) = 0$  per ogni  $k < k_0$ .*

# ARMA Model

- se  $n = 0$ , il sistema SISO LTI a tempo discreto è descritto dalla equazione alle differenze

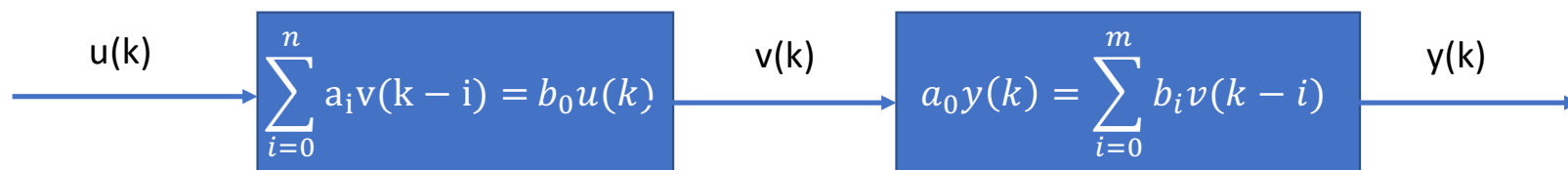
$$y(k) = \sum_{j=0}^m \frac{b_j}{a_0} u(k-j), \quad k \in \mathbb{Z} \quad (1.11)$$

in cui l'uscita è la media pesata dell'ingresso nella finestra mobile  $[k-m, k]$ . Questo modello si chiama **modello a media mobile**, **MA** dalla acronimo della traduzione

- se  $m = 0$ , il sistema SISO LTI è descritto da

$$\sum_{i=0}^n \frac{a_i}{b_0} y(k-i) = u(k), \quad k \in \mathbb{Z} \quad (1.12)$$

dato che l'unico coefficiente non nullo del termine di destra è  $b_0 u(k)$ . Questo modello discreto si chiama **modello autoregressivo**, in breve **AR**.



with initial conditions  $y(-1), y(-2), y(-3), \dots$





# Free and Forced Responses

Also for Discrete-time systems we can represent the system output as composed by a part  $y_l$  that depends only on the initial conditions and a part  $y_f$  that depends on the input signal.

*Data l'equazione alle differenze (1.15) con condizioni iniziali (1.16), si definisce **evoluzione libera** del sistema  $y_l(k)$ ,  $k \geq k_0$ , la soluzione dell'equazione omogenea associata*

$$\sum_{i=0}^n a_i y_l(k-i) = 0 \quad (1.19)$$

*con le stesse condizioni iniziali (1.16).*

*La soluzione  $y(k)$  dell'equazione alle differenze (1.15), con condizioni iniziali (1.16) e ingresso  $u(k)$ , è definita come la somma dell'evoluzione libera  $y_l(k)$  e dell'evoluzione forzata  $y_f(k)$ , i.e.*

$$y(k) = y_l(k) + y_f(k), \quad (1.23)$$

*per  $k \geq k_0$  intero.*

*Data l'equazione alle differenze (1.15), si definisce **evoluzione forzata** del sistema  $y_f(k)$ ,  $k \geq k_0$ , la soluzione dell'equazione alle differenze originale*

$$\sum_{i=0}^n a_i y_f(k-i) = \sum_{j=0}^m b_j u(k-j) \quad (1.21)$$

*con condizioni iniziali poste uguali a zero.*

# Free Response Computation

we associate to each term  $y(k-i)$  in the homogeneous equation

$$\sum_{i=0}^n a_i y(k-i) = 0$$

the term  $z^{-i}$  obtaining

$$\sum_{i=0}^n a_i z^{-i} = 0$$

then we multiply by  $z^n$  we obtain

$$\sum_{i=0}^n a_i z^{n-i} = 0$$

by setting  $j=n-i$ , we obtain

*Data l'equazione omogenea (1.19), l'equazione algebrica*

$$d(z) := \sum_{i=0}^n a_{n-i} z^i = 0 \quad (1.25)$$

*si definisce polinomio caratteristico.*

that can be represented in factor form as

$$d(z) = \prod_{i=1}^h (z - p_i)^{r_i}. \quad (1.26)$$

with  $r_i$  the multiplicity of each root

*Le soluzioni elementari dell'equazione omogenea associata (1.19), espresse nella seguente forma*

$$m_{i,j}(k) = \frac{k^j}{j!} p_i^k, \quad k \in \mathbb{Z} \quad (1.28)$$

*per  $i = 1, \dots, h$ ,  $j = 0, \dots, r_i$  sono dette modi del sistema.*

*La soluzione  $y_l(k)$  dell'equazione alle differenze (1.19) è espressa come combinazione lineare dei modi del sistema, i.e.*

$$y_l(k) = \sum_{i=1}^h \sum_{j=0}^{r_i-1} c_{ij} \frac{k^j}{j!} p_i^k \quad (1.30)$$

*dove i coefficienti  $c_{ij}$  sono univocamente determinati dalle condizioni iniziali (1.16).*

# Example

The natural modes of the system are:

$$\{p_i^k\}, \{kp_i^k\}, \dots, \left\{\frac{k^{r_i-1}}{(r_i-1)!} p_i^k\right\} \quad k \in \mathbb{Z}$$

These modes are analogous to the modes of continuous time systems, in fact:

$$\frac{k^l}{l!} p_i^k = \frac{k^l}{l!} e^{\ln p_i k} \quad (\text{remember } p = e^{\ln p} \text{ and } \ln p^k = k \ln p)$$

if we write  $p_i$  in polar form we have  $p_i = \rho_i e^{j\varphi_i}$  and we can write

$$\frac{k^l}{l!} p_i^k = \frac{k^l}{l!} \rho_i^k e^{j\varphi_i k} = \frac{k^l}{l!} e^{k \ln \rho_i} (\cos(k\varphi_i) + j \sin(k\varphi_i)) \text{ which is the sampled version of the mode in continuous time.}$$

Let's consider  $v(k) - v(k-1) + 1/4 v(k-2) = 0 \quad k \geq 0$  and initial conditions  $v(-1) = v_{-1}, v(-2) = v_{-2}$

The characteristic equation is

$$z^2 - z + \frac{1}{4} = \left(z - \frac{1}{2}\right)^2 = 0 \rightarrow p_{1,2} = 1/2$$

$$v_l(k) = c_1 \frac{1}{2^k} + c_2 k \frac{1}{2^k} = (c_1 + k c_2) \frac{1}{2^k} \text{ and the constants can be computed by}$$

$$v_{-1} = v_l(-1) = 2(c_1 - c_2) \text{ and } v_{-2} = v_l(-2) = 4(c_1 - 2c_2)$$

Therefore the solution for  $v_l(k)$  is:

$$v_l(k) = \left[ \left( v_{-1} - \frac{v_{-2}}{4} \right) + \left( \frac{v_{-1}}{2} - \frac{v_{-2}}{4} \right) k \right] \frac{1}{2^k} \quad k \geq 0$$

# Complex Roots

## Tempo discreto

Per i sistemi a tempo discreto  $k \in \mathbb{Z}$  l'evoluzione libera è descritta da

$$y_l(k) = \sum_{i=1}^h \sum_{j=0}^{r_i-1} c_{i,j} \frac{k^j}{j!} p_i^k, \quad k \in \mathbb{Z}_0^+ \quad (1.68)$$

$$\frac{k^j}{j!} p^k = \frac{k^j}{j!} \rho^k e^{j\phi k} = \frac{k^j}{j!} \rho^k [\cos(\phi k) + j \sin(\phi k)], \quad k \in \mathbb{Z}_0^+$$

$$\frac{k^j}{j!} \bar{p}^k = \frac{k^j}{j!} \rho^k e^{-j\phi k} = \frac{k^j}{j!} \rho^k [\cos(\phi k) - j \sin(\phi k)], \quad k \in \mathbb{Z}_0^+.$$

Perciò esattamente come nel caso a tempo continuo, alla famiglia di modi complessi data da

$$\frac{k^j}{j!} p^k, \quad \frac{k^j}{j!} \bar{p}^k, \quad j = 0, 1, \dots, r-1$$

si può associare la corrispondente famiglia di modi reali, data da

$$\frac{k^j}{j!} \rho^k \cos(\phi k), \quad \frac{k^j}{j!} \rho^k \sin(\phi k), \quad j = 0, 1, \dots, r-1. \quad (1.69)$$

# Simple and Asymptotic Stability

Il modo elementare  $m_{i,j}(t) = \frac{k^j}{j!} p_i^k$ ,  $k \in \mathbb{Z}$ ,  $j \in \mathbb{N}$ ,  $p_i \in \mathbb{C}$

1. convergente a zero se e solo se  $|p_i| < 1$ ,
2. limitato in  $\mathbb{Z}_+$  se e solo se  $|p_i| \leq 1$  e i modi  $p_i \in \partial\mathbb{D}$  sono semplici (i.e.  $r_i = 1$ ),
3. divergente in tutti gli altri casi.

Asymptotic stability implies that all modes converge to 0, i.e.

$\frac{k^l}{l!} p_i^k \rightarrow 0$  for  $k \rightarrow \infty$  but since

$$\frac{k^l}{l!} p_i^k = \frac{k^l}{l!} e^{k \ln \rho_i} (\cos(k\varphi_i) + j \sin(k\varphi_i))$$

the mode  $\rightarrow 0$  only if  $e^{k \ln \rho_i}$  is decreasing, i.e.  $\ln \rho_i < 0 \Rightarrow \rho_i = |p_i| < 1 \quad \forall i$

This is equivalent to say that the impulse response is  $\sum_{k=0}^{\infty} |h(k)| < \infty$

**Esempio 1.5.3** Consideriamo un sistema LTI a tempo discreto, caratterizzato dal seguente modello IO

$$\frac{1}{2}y(k-2) - y(k-1) + y(k) = u(k), \quad k \geq 0.$$

Il polinomio caratteristico dell'omogenea associata,  $d(z) = z^2 - z + 1/2$ , presenta due radici (semplici) complesse coniugate

$$z_{1,2} = \frac{1}{2} \pm j\frac{1}{2}$$

il cui modulo  $\rho = \sqrt{2}/2 < 1$ .

I modi del sistema

$$m_1(k) = \rho^k \cos(\phi k)$$

$$m_2(k) = \rho^k \sin(\phi k)$$

dove  $\phi = \angle z_1 = \frac{\pi}{4}$ , sono limitati e convergenti poiché si tratta di radici appartenenti a  $\mathbb{D}$ , l'interno della circonferenza unitaria centrata nell'origine del semipiano complesso, dunque il sistema è asintoticamente stabile.  $\diamond$

# Discrete-Time Canonical Signals: Impulse

## Definizione 1.6.2 (Impulso unitario discreto)

L'Impulso di Kronecker è una successione definita da

$$\delta(k) := \begin{cases} 1, & k = 0 \\ 0, & \text{altrimenti} \end{cases} \quad k \in \mathbb{Z}. \quad (1.77)$$

come mostrato nella Figura 1.10. Si tratta di una successione pari, ovvero  $\delta(-k) = \delta(k)$  per ogni  $k \in \mathbb{Z}$ , che esattamente come nel caso continuo può essere amplificata e traslata nel tempo tramite  $A\delta(k - i)$  dove  $i \in \mathbb{Z}$ .

Possiamo quindi rappresentare qualsiasi successione  $f$  come una combinazione lineare di impulsi discreti

$$f(k) = \sum_{i=-\infty}^{+\infty} f(i)\delta(i - k) \quad (1.78)$$

$$= \sum_{i=-\infty}^{+\infty} f(i)\delta(k - i) \quad (1.79)$$

con  $k \in \mathbb{Z}$ .

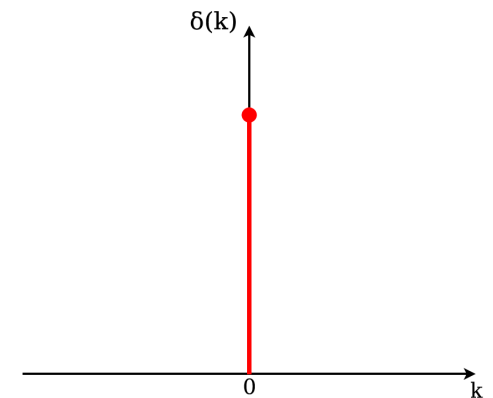


Figura 1.10. Impulso di Kronecker

# Discrete-Time Canonical Signals: Step

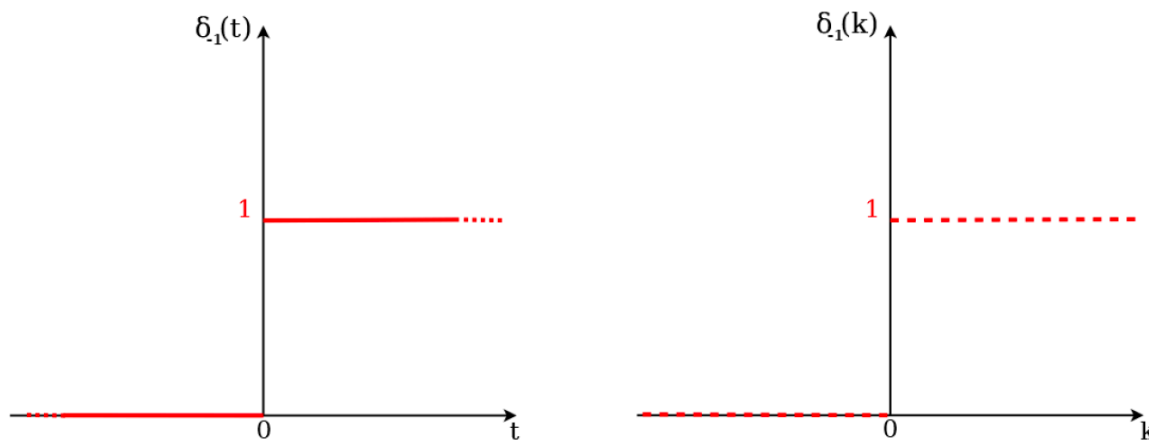
Il gradino unitario è anche noto con il nome di *funzione di Heaviside*. Analogamente, il **gradino unitario discreto**  $\delta_{-1}(k)$

Discrete unit  
step function

$$\delta_{-1}(k) := \begin{cases} 1, & k \geq 0 \\ 0, & \text{altrimenti} \end{cases} \quad k \in \mathbb{Z}$$

è il segnale canonico corrispondente a tempo discreto.

$$\delta_{-1}(k) = \sum_{i=-\infty}^k \delta(i)$$
$$\delta_{-2}(t) = \sum_{i=-\infty}^{k-1} \delta_{-1}(k).$$



**Figura 1.11.** Gradino unitario a tempo continuo (sinistra) ed a tempo discreto (destra)

# Impulse response

*Dato un sistema  $\Sigma$  SISO LTI causale, descritto dall'equazione alle differenze (1.15), la risposta impulsiva  $w(k)$  è data dalla soluzione dell'equazione differenziale*

$$\sum_{i=0}^n a_i w(k-i) = \sum_{i=0}^m b_i \delta(k-i) \quad (1.81)$$

*$k_0 \geq 0$  intero, con condizioni iniziali nulle*

$$w(k_0 - 1) = 0$$

$$w(k_0 - 2) = 0$$

$$\vdots$$

$$w(k_0 - n) = 0.$$

*La risposta impulsiva  $w(t)$  del sistema  $\Sigma$  SISO LTI causale a tempo discreto (1.15) assume la forma*

$$w(k) = \frac{1}{a_0} \sum_{i=0}^m b_i \delta(k-i) \quad (1.83)$$

*per  $n = 0$ ,*

$$w(k) = \sum_{i=1}^h \sum_{j=0}^{r_i-1} d_{i,j} \frac{k^j}{j!} p_i^k \delta_{-1}(k) \quad (1.84)$$

*per  $n \geq 1$ ,  $n > m$ , e*

$$w(k) = \sum_{i=0}^{m-n} d_i \delta(k-i) + \sum_{i=1}^h \sum_{j=0}^{r_i-1} d_{i,j} \frac{k^j}{j!} p_i^k \delta_{-1}(k-m+n-1) \quad (1.85)$$

*per  $n \geq 1$ ,  $n \leq m$ , con  $k \in \mathbb{Z}$ ,  $d_0, d_{i,j} \in \mathbb{R}$*



# Example

$$v(k) + v(k - 1) = u(k) - u(k - 1)$$

if  $u(k) = \delta(k)$ , then:

$$\mathbf{k=0} \quad h(0) + h(-1) = \delta(0) - \delta(-1) = 1$$

thus  $h(0) = 1$  since  $h(-1) = 0$  and  $\delta(-1) = 0$

$$\mathbf{k=1} \quad h(1) + h(0) = \delta(1) - \delta(0) = -1$$

thus  $h(1) = -1 - h(0) = -2$

$$\mathbf{k=2} \quad h(2) = 2$$

$$\mathbf{k=3} \quad h(2) = -2$$

$$\text{Thus } h(k) = \begin{cases} 1 & \text{for } k = 0 \\ -2 & \text{for } k \geq 0 \text{ and odd} \\ 2 & \text{for } k \geq 0 \text{ and even} \end{cases}$$

$$h(k) = (-1)^k \delta_{-1}(k) - (-1)^{k-1} \delta_{-1}(k - 1) = \delta(k) + (-1)^k 2\delta_{-1}(k - 1)$$

# Convolution Integral and Forced Response

*Il prodotto di convoluzione di due successioni  $v_1(k)$  e  $v_2(k)$ , con  $k \in \mathbb{Z}$ , è dato dalla successione  $[v_1 * v_2](k)$  definita attraverso la sommatoria*

$$\begin{aligned} [v_1 * v_2](k) &= \sum_{i=-\infty}^{+\infty} v_1(i)v_2(k-i) \\ &= \sum_{i=-\infty}^{+\infty} v_1(k-i)v_2(i) \end{aligned} \quad (1.95)$$

*se esiste.*

*La risposta forzata del sistema SISO LTI causale  $\Sigma$  (1.15) di risposta impulsiva  $w(k)$ , con condizioni iniziali nulle e ingresso  $u(k)$  è data dal prodotto di convoluzione*

$$\begin{aligned} y_f(k) &= [w * u](k) \\ &= \sum_{i=-\infty}^k w(k-i)u(i) \\ &= \sum_{i=0}^{+\infty} w(i)u(k-i) \end{aligned}$$

*se esiste.*

*Se  $u(k)$  è nullo per  $k < 0$ , allora*

$$y_f(k) = \sum_{i=0}^k w(i)u(k-i) \quad (1.98)$$

$$= \sum_{i=0}^k w(k-i)u(i) \quad (1.99)$$

*che risulta essere nulla per  $k < 0$ .*

# Justification of Forced Response

We can represent any input signal as:

$$u(k) = \cdots + u(-1)\delta(k+1) + u(0)\delta(k) + u(1)\delta(k-1) \cdots = \sum_{i=-\infty}^{\infty} u(i)\delta(k-i) = [u * \delta](k)$$

Since  $\delta(k) \rightarrow h(k)$  the output will be

$$v_f(k) = \sum_{i=-\infty}^{\infty} u(i)h(k-i) = [u * h](k)$$

# Example

Considering the previous system

$$v(k) + v(k - 1) = u(k) - u(k - 1)$$

with impulse response

$$h(k) = (-1)^k \delta_{-1}(k) - (-1)^{k-1} \delta_{-1}(k - 1) = \delta(k) + (-1)^k 2\delta_{-1}(k - 1)$$

The forced response will be:

$$v_f(k) = \sum_{i=0}^k u(i)h(k - i) = u(k) + 2 \sum_{i=0}^{k-1} (-1)^{k-1} u(i)$$

# Asymptotic and BIBO Stability using $w(k)$

*Il sistema LTI  $\Sigma$  a tempo discreto, descritto dalla risposta impulsiva  $w(k)$ , è BIBO stabile se e solo se  $w(k)$  è una successione sommabile  $w(k) \in \ell_1(\mathbb{R})$ , i.e.*

$$\sum_{-\infty}^{+\infty} |w(k)| < +\infty.$$

## **Proposizione 1.7.1 (BIBO stabilità)**

*Un sistema  $\Sigma$  LTI causale è BIBO stabile se e solo se i modi elementari che compaiono con coefficiente non nullo nell'espressione della risposta impulsiva sono tutti convergenti a zero.*

## **Proposizione 1.7.2 (Stabilità asintotica)**

*Un sistema  $\Sigma$  LTI causale è asintoticamente stabile, cioè la risposta libera converge a zero per  $t$  (o  $k$ ) tendente a  $+\infty$  per ogni scelta delle condizioni iniziali, se e solo se tutti i modi elementari della risposta libera convergono a zero asintoticamente.*

# Example

**Esempio 1.7.4** *Consideriamo il sistema LTI a tempo discreto caratterizzato dal seguente modello IO*

$$y(k) - \frac{1}{4}y(k-2) = 2u(k), \quad k \geq 0. \quad (1.115)$$

*La risposta libera*

$$y_l(k) = c_{1,0} \left(\frac{1}{2}\right)^k + c_{2,0} \left(-\frac{1}{2}\right)^k, \quad k \geq 0.$$

*è una combinazione lineare di modi convergenti, dato che il modulo di entrambe le radici di  $d(z) = z^2 - 1/4$  è strettamente minore di 1, il sistema risulta asintoticamente stabile dunque anche BIBO stabile.*  $\diamond$



# Z-Transform

**Definizione 1.10.1 (Trasformata Zeta)** *Dato un segnale  $v(k)$ ,  $k \in \mathbb{Z}$ , la trasformata Zeta di  $v(k)$  è definita dalla serie*

$$\mathcal{Z}[v(k)] = \sum_{k=-\infty}^{+\infty} v(k)z^{-k}, \quad z \in \mathbb{C} \quad (1.155)$$

*se converge.*

*Se  $v(k)$  assume valori non nulli solo per  $k \in \mathbb{Z}_+$ , la trasformata Zeta è data da*

$$\mathcal{Z}[v(k)] = \sum_{k=0}^{+\infty} v(k)z^{-k}, \quad z \in \mathbb{C} \quad (1.156)$$

*se converge.*

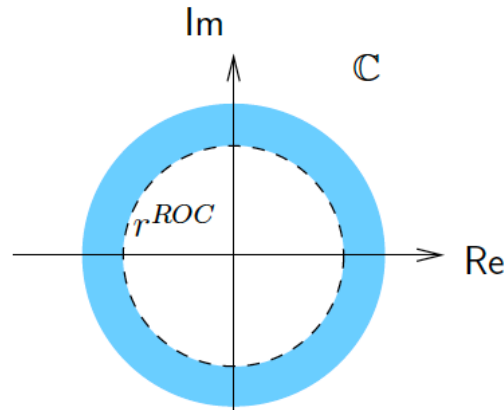


# Existence of Z-Transform

Esattamente come nel caso continuo, i punti del piano complesso in cui tale serie converge formano la regione di convergenza. Essa contiene sempre il complementare di un cerchio centrato nell'origine del piano complesso, avente **raggio di convergenza**  $r^{ROC}$ . La regione di convergenza è quindi

$$\mathcal{C}^c := \{z \in \mathbb{C} \mid |z| > r^{ROC}\}.$$

Una rappresentazione grafica della regione di convergenza e del raggio di convergenza è data nella Figura 1.13.



**Figura 1.13.** Regione di convergenza

# Justification of Region of Convergence

The Z-transform exists in a region, called region of convergence (ROC), such that  $|z| > r_{ROC}$ ,  $r \in \mathbb{R}_+$ . In fact, given

$$F(z) = \sum_{h=0}^{\infty} c_h z^{-h} = c_0 + c_1 z^{-1} + \dots$$

this is a series that converges if  $\lim_{h \rightarrow \infty} \left| \frac{c_{h+1} z^{-(h+1)}}{c_h z^{-h}} \right| = L, \quad L < 1$

therefore

$$\lim_{h \rightarrow \infty} \left| \frac{c_{h+1}}{c_h} \right| \frac{1}{|z|} < 1 \Rightarrow |z| > \lim_{h \rightarrow \infty} \left| \frac{c_{h+1}}{c_h} \right| = r_{ROC}$$

- $r_{ROC}=0$   $F(z)$  converges everywhere
- $0 < r_{ROC} < \infty$   $F(z)$  converges outside a circle of radius  $r_{ROC}$
- $r_{ROC} = \infty$   $F(z)$  diverges

# Z-Transform Properties

1. *Linearità:*

$$\mathcal{Z}[af(k) + bg(k)] = a\mathcal{Z}[f(k)] + b\mathcal{Z}[g(k)] = aF(z) + bG(z)$$

2. *Convoluzione:*

$$\mathcal{Z}[f(k) * g(k)] = F(z)G(z), \quad z \in \mathbb{C}$$

3. *Moltiplicazione per  $k$  o  $k^2$ :* per  $k$  si ha

$$\mathcal{Z}[kf(k)] = -z \frac{dF(z)}{dz}$$

mentre ricorsivamente, applicando la regola di Leibniz, per  $k^2$

$$\begin{aligned} \mathcal{Z}[k^2 f(k)] &= \mathcal{Z}[k(kf(k))] = -z \cdot \frac{d}{dz} \left[ -z \frac{dF(z)}{dz} \right] = \\ &= z \frac{dF(z)}{dz} + z^2 \frac{d^2 F(z)}{dz^2} \end{aligned}$$

# Z-Transform Properties

4. *Moltiplicazione per  $\lambda^k$ :*

$$\mathcal{Z}[\lambda^k f(k)] = F(z/\lambda)$$

dove  $\lambda$  è uno scalare.

5. *Traslazione a destra:* per  $d > 0$  intero, si ha che

$$\mathcal{Z}[f(k-d)] = z^{-d}F(z) + \sum_{i=-d}^{-1} f(i)z^{-d-i}$$

dove  $f(k-d)$  può essere vista come la versione ritardata di  $d$  passi della successione  $f(k)$ .

# Example

## Esempio 1.10.1 (Alcune Trasformate Zeta notevoli)

*La trasformata Zeta dell'impulso Unitario discreto centrato in  $i \in \mathbb{N}$ ,  $\delta(k - i)$ , è data dalla seguente serie*

$$\mathcal{Z}[\delta(k - i)] = \sum_{k=0}^{+\infty} \delta(k - i) z^{-k} = z^{-i}, \quad z \in \mathbb{C}$$

*dato che tale impulso è nullo per ogni  $k \neq i$  e vale 1 altrimenti solo in  $i$ .*

*La trasformata Zeta del gradino unitario discreto  $\delta_{-1}(k)$  è data dalla serie*

$$\mathcal{Z}[\delta_{-1}(k)] = \sum_{k=0}^{+\infty} \delta_{-1}(k) z^{-k} = \sum_{k=0}^{+\infty} z^{-k} = \sum_{k=0}^{+\infty} \left(\frac{1}{z}\right)^k$$

*ovvero una serie la cui ragione è minore di 1 in modulo, la cui somma è pertanto*

$$\frac{1}{1 - z^{-1}} = \frac{z}{z - 1}, \quad z \in \mathbb{C}$$

*tenendo conto del fatto che  $\delta_{-1}(k) = 1$  se  $k \in \mathbb{Z}_+$ .*

◇

# Anti Z-Transform

## Definizione 1.10.2 (Anti-trasformata Zeta)

Sia  $V(z)$  una funzione complessa di variabile complessa, l'anti-trasformata Zeta di  $V(z)$  è definita come segue

$$\mathcal{Z}^{-1}\{V(z)\} = \frac{1}{2\pi j} \oint_{\Gamma} V(z) z^{k-1} dz \quad (1.157)$$

dove l'integrale di circuitazione è riferito ad una qualsiasi curva chiusa  $\Gamma$  che appartenga alla RdC e percorsa in senso anti-orario.

### 1.10.1 Teorema del valore iniziale e finale

Sia  $v(k)$  una successione causale (ovvero nulla per  $k$  negativi) con trasformata Zeta  $V(z)$ . Il teorema del valore iniziale afferma che:

$$v(0) = \lim_{z \rightarrow \infty} V(z). \quad (1.158)$$

Se la successione  $v(k)$  ammette limite finito, allora  $V(z)$  è una funzione analitica all'esterno del disco di raggio unitario centrato nell'origine e il teorema del valore finale afferma che:

$$v(\infty) = \lim_{\mathbb{R} \ni z \rightarrow 1^+} \left(1 - \frac{1}{z}\right) V(z). \quad (1.159)$$

# Transfer Function

$$\sum_{i=0}^n a_i y(k-i) = \sum_{i=0}^m b_i u(k-i), \quad k \in \mathbb{Z}$$

$$\mathcal{Z} \left[ \sum_{i=0}^n a_i y(k-i) \right] = \mathcal{Z} \left[ \sum_{i=0}^m b_i u(k-i) \right]$$

$$a_0 Y(z) + \sum_{i=1}^n a_i \left( z^{-i} Y(z) + \sum_{l=-i}^{-1} y(l) z^{-i-l} \right) = \sum_{i=0}^m b_i z^{-i} U(z).$$

Moltiplichiamo sia a destra che a sinistra per il termine  $z^n$ , abbiamo la relazione polinomiale in  $z$

$$D(z)Y(z) - P(z) = N(z)U(z), \quad z \in \mathbb{C} \quad (1.160)$$

# Transfer Function

$$D(z) := \sum_{i=0}^n a_i z^{n-i},$$

$$P(z) := - \sum_{i=1}^n a_i \sum_{l=-i}^{-1} y(l) z^{n-i-l},$$

$$N(z) := \sum_{i=0}^m b_i z^{m-i}.$$

$$Y(z) = \frac{P(z)}{D(z)} + \frac{N(z)}{D(z)} U(z), \quad z \in \mathbb{C} \quad (1.164)$$

dove possiamo riconoscere, esattamente come nel caso continuo, la definizione di *Funzione di Trasferimento* per il sistema  $\Sigma$ , ovvero

$$W(z) = \frac{N(z)}{D(z)} = \frac{b_0 z^m + b_1 z^{m-1} + \dots + b_m}{a_0 z^n + a_1 z^{n-1} + \dots + a_n}, \quad (1.165)$$



# Example

**Esempio 1.10.2** *Consideriamo il sistema LTI a tempo discreto caratterizzato dal modello IO*

$$y(k-1) + 2y(k) = u(k), \quad k \geq 0$$

*con condizione iniziale  $y(-1) = -1$  e ingresso (causale)  $u(k) = 2^k \delta_{-1}(k)$ . I parametri per il calcolo dei polinomi (1.161), (1.162) e (1.163) sono*

$$n = 1, \quad m = 0$$

$$a_0 = 2, \quad b_0 = 1$$

$$a_1 = 1.$$

# Example

*I polinomi in (1.164) risultano quindi*

$$D(z) = 2z + 1,$$

$$P(z) = -z,$$

$$N(z) = 1.$$

*dai quali possiamo ricavare la trasformata Zeta della risposta totale del sistema  $Y(z)$*

$$Y(z) = -\frac{z}{2z+1} + \frac{1}{2z+1} \frac{z}{z-2}, \quad z \in \mathbb{C}. \quad (1.166)$$

*dove  $U(z) = \frac{z}{z-2}$  è la trasformata Zeta dell'ingresso  $u(k)$ . La risposta libera e la funzione di trasferimento sono date da*

$$Y_\ell(k) = -\frac{z}{2z+1}, \quad W(z) = \frac{1}{2z+1}. \quad (1.167)$$

◇

# Stability Analysis using the Transfer Function

## **Teorema 1.10.1 (BIBO stabilità e poli di $W(z)$ )**

*Un sistema  $\Sigma$  SISO LTI causale a tempo discreto, avente funzione di trasferimento  $W(z)$  con polinomi  $N(z)$  e  $D(z)$  coprimi è BIBO stabile se e solo se tutti i poli di  $W(z)$  sono contenuti all'interno della circonferenza unitaria del piano complesso, i.e.  $z_i \in \mathbb{D}$ ,  $i = 1, \dots, \deg\{D(z)\}$ .*

# Computation of the Inverse Z-Transform

$$W(z) = \frac{n(z)}{z^\nu (z - p_1)^{r_1} (z - p_2)^{r_2} \cdot \dots \cdot (z - p_h)^{r_h}} \quad (1.171)$$

dove  $\nu \geq 0$  è la molteplicità algebrica di un eventuale polo situato nell'origine, e  $r_i$  è la molteplicità algebrica del polo  $p_i$ . Si ha quindi che  $\nu + \sum_{i=1}^h r_i = \deg\{D(z)\}$ . Possono verificarsi le seguenti situazioni

1. se  $W(z)$  ha almeno un  $p_i \neq 0$ , allora la ROC contiene l'insieme  $\{z \in \mathbb{C} : |z| > \max |p_i|, i = 1, 2, \dots, h\}$ , i.e. tutti i complessi il cui modulo è maggiore di quello massimo tra i poli di  $W(z)$ ;
2. se  $W(z)$  ha solamente poli nell'origine, la ROC coincide con  $\mathbb{C} \setminus \{0\}$ , i.e. il piano complesso privato dell'origine;
3. se  $\nu = 0$  e  $\sum_{i=1}^h r_i = 0$  allora  $W(z)$  è una funzione costante e la ROC coincide con tutto il piano complesso.

# Computation of the Inverse Z-Transform

$$W_1(z) := \frac{W(z)}{z} = \sum_{i=0}^{\nu} \frac{d_i}{z^{i+1}} + \sum_{i=1}^h \sum_{j=0}^{r_i-1} \frac{d_{i,j}}{(z - p_i)^{j+1}}$$

dove  $\nu + \sum_i r_i = n$  e i termini  $d_{i,j}$  sono costanti da determinare. Moltiplicando per  $z$  ritorniamo alla funzione di partenza

$$W(z) = \sum_{i=0}^{\nu} \frac{d_i}{z^i} + \sum_{i=1}^h \sum_{j=0}^{r_i-1} \frac{d_{i,j} z}{(z - p_i)^{j+1}}$$

dove adesso possiamo riconoscere le anti-trasformate notevoli (cfr Tabella 1.3)

$$\mathcal{Z}^{-1} \left[ \frac{1}{z^i} \right] = \delta(k - i), \quad k \in \mathbb{Z}$$

$$\mathcal{Z}^{-1} \left[ \frac{z}{(z - p_i)^{j+1}} \right] = \frac{k!}{j!(k - j)!} p_i^{k-j}, \quad k \in \mathbb{Z}.$$

**Esempio 1.10.5 (Anti-trasformata Zeta di  $W(z)$ )**

*Consideriamo la seguente funzione di trasferimento*

$$W(z) = \frac{2z - 3}{z(z + 5)}, \quad z \in \mathbb{C}.$$

*Vogliamo calcolarne l'anti-trasformata per risalire alla risposta impulsiva del sistema. Sia*

$$W_1(z) := \frac{W(z)}{z} = \frac{2z - 3}{z^2(z + 5)}$$

*dalla decomposizione in fratti semplici, applicata alla funzione  $W_1(z)$ , si ottiene*

$$\begin{aligned} W_1(z) &= \frac{A_1}{z} + \frac{A_2}{z^2} + \frac{B}{z + 5} \\ &= \frac{A_1(z + 5)z + A_2(z + 5) + Bz^2}{z^2(z + 5)} \\ &= \frac{A_1z^2 + 5A_1z + A_2z + 5A_2 + Bz^2}{z^2(z + 5)}. \end{aligned}$$

*Confrontando il numeratore così ottenuto con il numeratore di  $W_1(z)$ , si ottiene il seguente sistema a tre incognite*

$$\begin{cases} A_1 + B = 0 \\ 5A_1 + A_2 = 2 \\ 5A_2 = -3 \end{cases}$$

la cui soluzione è data dalla tripletta  $(A_1, A_2, B) = (13/25, -3/5, -13/25)$ . Ricordando che  $W(z) = z \cdot W_1(z)$  si ottiene

$$W(z) = \frac{13}{25} - \frac{3}{5} \frac{1}{z} - \frac{13}{25} \frac{z}{z+5}$$

e quindi

$$w(k) = \mathcal{Z}^{-1}[W(z)] = \frac{13}{25} \delta(k) - \frac{3}{5} \delta(k-1) - \frac{13}{25} (-5)^k \delta_{-1}(k), \quad k \in \mathbb{Z}$$

◇





# Relation Between s and z Domains

Let's consider a differential equation

$$\dot{m}(t) + am(t) = be(t)$$

Whose Laplace Transform is

$$sM(s) + aM(s) = bE(s)$$

and the Transfer Function is

$$G(s) = \frac{M(s)}{E(s)} = \frac{b}{s + a}$$

We want to know how to obtain the discrete-time approximation of these functions.

# Method of Forward Differences

A possible approximation of the derivative is:

$$\dot{m}(t) \simeq \frac{m((h+1)T_s) - m(hT_s)}{T_s}$$

where  $h$  is the discrete time index, and  $T_s$  is the sampling period. The Z-transform of the left side is

$$\frac{zM(z) - M(z)}{T_s} = \frac{z-1}{T_s} M(z)$$

Therefore the discrete-time approximation of the differential equation is

$$\frac{m((h+1)T_s) - m(hT_s)}{T_s} + am(hT_s) = be(hT_s)$$

# Method of Forward Differences

The Z-transform of the previous equation is

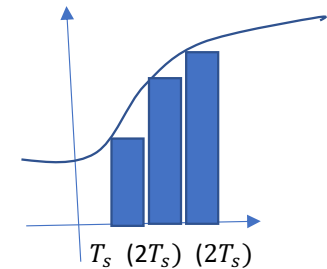
$$\frac{z-1}{T_s} M(z) + aM(z) = bE(z)$$

from which the transfer function is

$$G(z) = \frac{M(z)}{E(z)} = \frac{b}{\frac{z-1}{T_s} + a}$$

The  $G(z)$  could be obtained from  $G(s)$  by setting  $s = \frac{z-1}{T_s}$  which is the Euler approximation, in which the integral of  $m(t)$  at step  $(h-1)$  is:

$$\int_{(h-1)T_s}^{hT_s} m(\tau) d\tau \cong m((h-1)T_s)T_s$$



# Method of Forward Differences

In fact, if we use this approximation to integrate the differential equation we get:

$$m(hT_s) - m((h-1)T_s) = -am((h-1)T_s)T_s + be((h-1)T_s)T_s$$

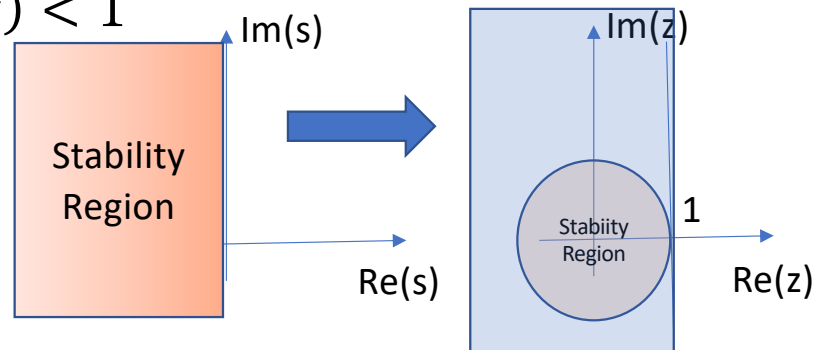
and applying the Z-transform the result is

$$M(z) - z^{-1}M(z) + az^{-1}T_sM(z) = bz^{-1}T_sE(z)$$

$$M(z) \left[ \frac{z-1}{T_s} + a \right] = bE(z)$$

However, from  $s = \frac{z-1}{T_s}$  we see that this approximation can introduce instability in

fact  $\operatorname{Re}\left(\frac{z-1}{T_s}\right) < 0 \Rightarrow \operatorname{Re}(z) < 1$



# Method of Backward Differences

A second approximation of the derivative is:

$$\dot{m}(t) \simeq \frac{m(hT_s) - m((h-1)T_s)}{T_s}$$

and the ZT is

$$\frac{M(z) - z^{-1}M(z)}{T_s} = \frac{z-1}{zT_s} M(z)$$

the approximation of the differential equation becomes

$$\frac{m(hT_s) - m((h-1)T_s)}{T_s} + am(hT_s) = be(hT_s)$$
$$\frac{z-1}{zT_s} M(z) + aM(z) = bE(z) \Rightarrow G(z) = \frac{M(z)}{E(z)} = \frac{b}{\frac{z-1}{zT_s} + a}$$

# Method of Backward Differences

that is equivalent to  $s = \frac{z-1}{zT_s}$  and the integral is

$$\int_{(h-1)T_s}^{hT_s} m(\tau) d\tau \cong m(hT_s)T_s$$

In this case,  $z = \frac{1}{1-sT_s}$  and if we consider  $(z-1/2)$  we can write:

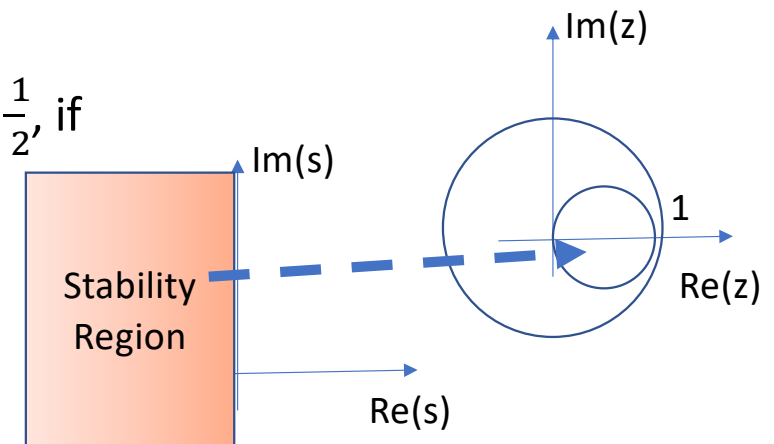
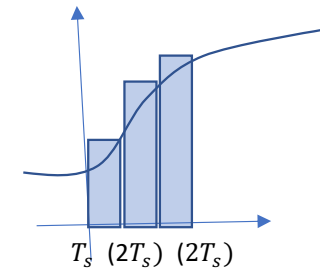
$$z - \frac{1}{2} = \frac{1}{1-sT_s} - \frac{1}{2} = \frac{1}{2} \frac{1+sT_s}{1-sT_s}$$

$$\left| z - \frac{1}{2} \right| = \frac{1}{2} \left| \frac{1+sT_s}{1-sT_s} \right| \rightarrow s = j\omega \rightarrow \left| \frac{1+sT_s}{1-sT_s} \right| = 1$$

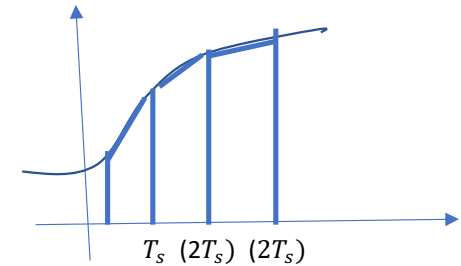
therefore the line  $s = j\omega$  is mapped to the region  $\left| z - \frac{1}{2} \right| = \frac{1}{2}$ , if we consider  $z = \alpha + j\beta$  the previous equation becomes

$$\left( \alpha - \frac{1}{2} \right)^2 + \beta^2 = \left( \frac{1}{2} \right)^2$$

that preserves stability but with a big frequency distortion.



# Method of Tustin (Bilinear)



The integral is approximated with

$$\int_{(h-1)T_s}^{hT_s} m(\tau) d\tau \cong \frac{1}{2} (m(hT_s) + m((h-1)T_s)) T_s$$

$$m(hT_s) - m((h-1)T_s)$$

$$= -a \frac{T_s}{2} [m(hT_s) + m((h-1)T_s)] + b \frac{T_s}{2} [e(hT_s) + e((h-1)T_s)]$$

$$M(z)(1 - z^{-1}) + a \frac{T_s}{2} (1 - z^{-1}) M(z) = b \frac{T_s}{2} (1 - z^{-1}) E(z)$$

$$M(z) \left[ \frac{2(1 - z^{-1})}{T_s(1 + z^{-1})} + a \right] = b E(z)$$

# Method of Tustin (Bilinear)

Therefore the transfer function is

$$G(z) = \frac{M(z)}{E(z)} = \frac{b}{\frac{2(1 - z^{-1})}{T_s(1 + z^{-1})} + a} \Rightarrow s = \frac{2z - 1}{T_s z + 1}$$

In this case the full  $\mathcal{Re}_-(s)$  maps into the unit circle, in fact

$$\begin{aligned} \mathcal{Re}(s) < 0 &\Rightarrow \mathcal{Re}\left(\frac{2z - 1}{T_s z + 1}\right) < 0 \rightarrow z = \alpha + j\beta \\ &\rightarrow \mathcal{Re}\left(\frac{\alpha + j\beta - 1}{\alpha + j\beta + 1}\right) < 0 \\ &\left(\frac{\alpha^2 - 1 + \beta^2}{(\alpha + 1)^2 + \beta^2}\right) < 0 \rightarrow \alpha^2 - 1 + \beta^2 < 0 \rightarrow \alpha^2 + \beta^2 < 1 \end{aligned}$$

The frequency content is still warped and it requires a compensation filter

